

# FYZIKÁLNÍ PRAKTIKUM

## Fyzikální praktikum 1

Vypracovala: Šárka Divácká

Naměřeno: 5. 4. 2022

Skupina: Út 8:00

### Úloha č. 8: Měření teploty

Laboratorní podmínky:

- Teplota 22,8 °C
- Tlak 977,4 hPa
- Vlhkost 24,6%

#### 1. Úvod

V této úloze budu měřit teplotu a to za pomoci odporových čidel, termoelektrického článku a infračerveného teploměru. Teplota je jednou ze základních veličin a patří k základním charakteristikám termodynamických systémů. Spousta vlastností a dějů probíhajících v termodynamických systémech na teplotě závisí. Základní jednotkou teploty je Kelvin, který také patří mezi základní jednotky soustavy SI. V praxi se používají také Celsiova a Fahrenheitova stupnice.

##### 1.1. Odporová čidla

Jednou z veličin, která závisí na teplotě je elektrický odpor. Proto je v technické praxi nejvýhodnější použít odporová čidla.

Pro malý rozsah teplot (v intervalu cca 100 °C) můžeme pro odpor kovových vodičů, u kterých při růstu teploty roste i odpor, použít lineární vztah

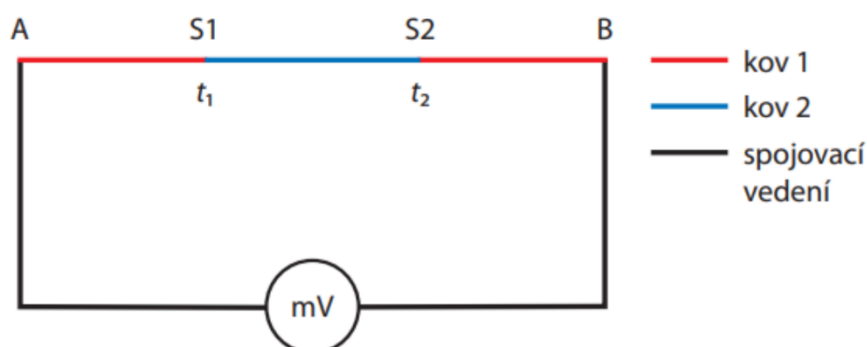
$$R = R_0(1 + \alpha \Delta t)$$

kde  $R$  je měřený odpor,  $R_0$  je odpor při dané normální teplotě,  $\alpha$  je teplotní součinitel elektrického odporu a  $\Delta t$  je rozdíl naměřené teploty a normální teploty. Ze normální teploty nejčastěji bereme teplotu 0 °C.

##### 1.2. Zapojení odporového čidla do můstku

##### 1.3. Termoelektrické články

Termočlánek vznikne spojením dvou různých vodivých materiálů s odlišnou teplotou (obr. 1).



Obrázek 1: Termoelektrický článek

Mezi spoji S1 a S2 vznikne tzv. termoelektrické napětí a uzavřeným obvodem začne protékat termoelektrický proud. Tento jev se nazývá Seebeckův jev a souvisí s difúzí volných nositelů náboje z teplejších míst do chladnějších. Teplotní charakteristika termoelektrického napětí je přibližně lineární pro libovolné rozsahy a lze ji popsat vztahem

$$U = \beta(t_1 - t_2)$$

kde  $\beta$  je Seebeckův termoelektrický koeficient. Jeho hodnota je závislá na materiálech, ze kterých je termoelektrický článek vyroben.

#### 1.4. Infračervené teploměry

Všechna tělesa s teplotou vyšší než absolutní nula vyzařují elektromagnetické záření. Toto záření označujeme jako tepelné záření. Emise tepelného záření je ovlivněna teplotou, ale i vlastnostmi povrchu tělesa – např. barvou, materiálem.

Ukazuje se, že nejvíce září to těleso v termodynamické rovnováze, které v dané oblasti vlnových délek nejvíce absorbuje. Za ideální zářič se považuje dokonale černé těleso, které zcela pohlcuje dopadající záření. Veličina zvaná emisivita  $\varepsilon$  popisuje odchylku vyzařování konkrétního povrchu od vyzařování právě dokonale černého tělesa, jehož emisivita je rovna 1. Emisivita je definována takto

$$\varepsilon(\lambda, T) = \frac{I(\lambda, T)}{I_{\text{čt}}(\lambda, T)}$$

kde  $I(\lambda, T)$  je intenzita vyzařování daného povrchu o absolutní teplotě  $T$  na vlnové délce  $\lambda$  a  $I_{\text{čt}}(\lambda, T)$  je intenzita vyzařování dokonale černého tělesa o stejné teplotě na stejné vlnové délce. Emisivita je tedy vždy menší nebo rovna 1.

Pro emisivitu z předchozího plyne, že platí

$$\varepsilon = \left(\frac{T_p}{T}\right)^4$$

Pro měření teploty pomocí emisivity se používají infračervené teploměry. Z definice emisivity a ze Stefanova-Boltzmannova vztahu plyne vztah pro skutečnou teplotu

$$T = \frac{T_p}{\sqrt[4]{\varepsilon}}$$

kde  $T_p$  je teplota, kterou ukazuje infračervený teploměr předpokládající, že těleso je dokonale černé.

#### 1.5. Propustnost

Infračervené teploměry mají i své nevýhody. Jednou z nevýhod je neznámá emisivita měřeného povrchu. Při měření nízkých teplot může být údaj IR čidla ovlivněn odrazem IR záření okolních předmětů, prostředím mezi měřeným objektem a vlastním snímačem. Někdy je nutné měřit teplotu přes okénko oddělující například vakuovaný prostor s měřeným tělesem. Okénko vždy snižuje tok záření a obvykle je nutné provést speciální kalibraci při daném experimentálním uspořádání.

Propustnost okénka  $\tau$  lze orientačně stanovit z poměru intenzit záření prošlého přes okénko a záření dopadajícího na okénko

$$\tau = \frac{T_{IR,O}^4}{T_{IR,V}^4}$$

kde  $T_{IR,O}$  je teplota vařiče měřená IR teploměrem přes okénko a  $T_{IR,V}$  je teplota vařiče měřená IR teploměrem přímo.

V případě okének s velmi malou propustností dává tento vztah zjevně nesprávné výsledky, neboť značná část záření měřená IR teploměrem přes okénko ve skutečnosti přichází odrazem záření

z okolí na okénku, případně je vlastním zářením okénka. V této situaci je vhodné toto záření odečíst:

$$\tau = \frac{T_{IR,O}^4 - T_{IR,P}^4}{T_{IR,V}^4}$$

kde  $T_{IR,P}$  je teplota změřená IR teploměrem přes okénko při pohledu na málo vyzařující objekt (např. led).

## 1.6. Relaxační doba

Při měření teploty nejsou ve většině případů kladeny nároky na rychlost reakce teploměru. Přesto však v některých případech je nutné změřit rychlé změny teploty. Předpokládejme, že se měřená teplota skokově změní z hodnoty  $t_1$  na hodnotu  $t_2$ . Reakce čidla na změnu teploty není okamžitá, ale probíhá s jistým zpožděním. Přejít signálu čidla z počáteční hodnoty na konečnou je dán vztahem

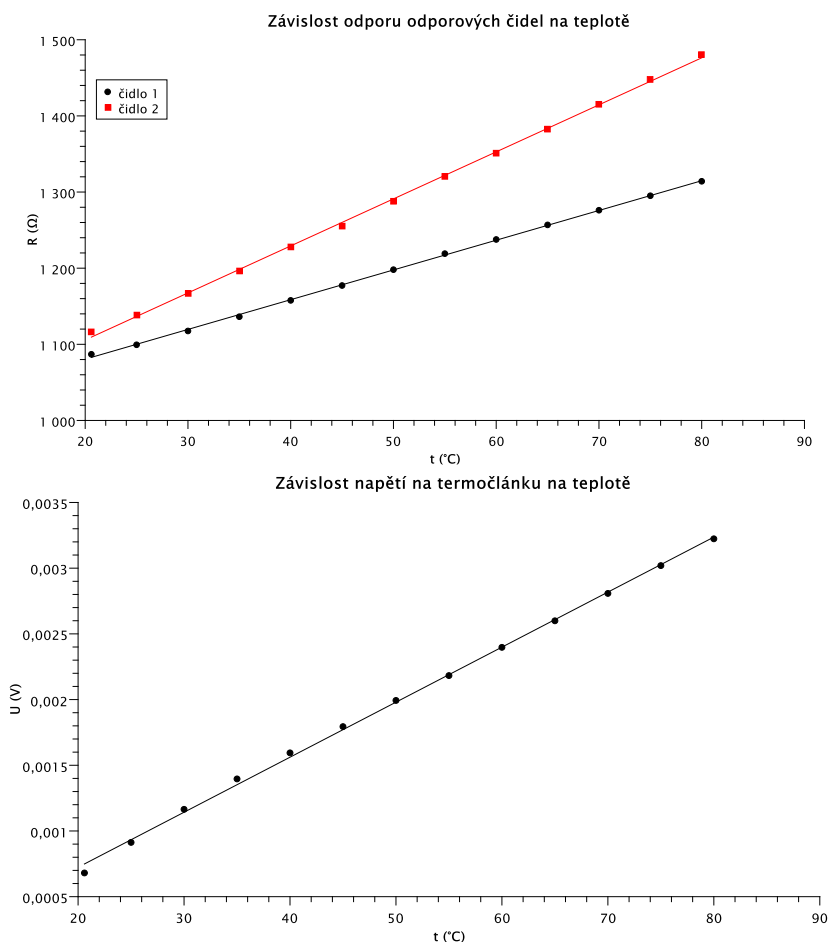
$$t(\tau) = t_2 - (t_2 - t_1)e^{-\frac{\tau}{\tau_m}}$$

kde  $\tau_m$  je časová konstanta zvaná relaxační doba. Ta je důležitým parametrem, který charakterizuje rychlost reakce teplotního čidla.

## 2. Naměřené hodnoty a jejich zpracování

### 2.1. Identifikace neznámých odporových a termoelektrických čidel

Budu měřit teplotní závislost elektrického odporu a napětí neznámých odporových a termoelektrických čidel. Čidla dám do olejové lázně, kterou budu ohřívat v rozsahu 20-80 °C a budu zaznamenávat změnu odporu a napětí s krokem cca 5 °C (teplotu budu odečítat na ruťovém teploměru – krajní nejistota odečtu ze stupnice je polovina nejmenšího dílku, tedy 0,1 °C). Získaná data vložím do grafu.



Grafy jsem proložila lineární křivku, jejíž rovnice má tvar  $Ax + B$ .

Pro odporová čidla zjistím ze vzorce  $R = R_0(1 + \alpha\Delta t)$ , že  $A = R_0\alpha$  a  $B = R_0$ . Tedy  $\alpha = \frac{A}{B}$ .  
Krajní nejistotu  $\alpha$  a  $R_0$  zjistím z krajních nejistot parametrů A a B.

Pro odporové čidlo 1 získám pomocí fitu hodnoty:

Linear Regression of dataset: Table1\_2, using function:  $A*x+B$   
Sort: No  
Weighting Method: No weighting  
From  $x = 2,0600000000000e+01$  to  $x = 8,0000000000000e+01$

Parameter	Value	Error
B (y-intercept)	1,0023769755205e+03	1,4486248168573e+00
A (slope)	3,9059294909839e+00	2,7126312822744e-02

Errors were scaled with  $\sqrt{\text{Chi}^2/\text{doF}} = 1,8225838946989e+00$

$$\begin{aligned}\alpha_1 &= 3,897 \cdot 10^{-3} \text{ K}^{-1} \\ U(\alpha_1) &= 2,764 \cdot 10^{-5} \text{ K}^{-1} \\ \alpha_1 &= (3,90 \pm 0,03) \cdot 10^{-3} \text{ K}^{-1} (p = 99,73\%) \\ R_{01} &= 1002,29 \Omega \\ U(R_{01}) &= 9,949 \Omega \\ R_{01} &= (1002 \pm 10) \Omega (p = 99,73\%)\end{aligned}$$

Pro odporové čidlo 2 získám pomocí fitu hodnoty:

Linear Regression of dataset: Table1\_3, using function:  $A*x+B$   
Sort: No  
Weighting Method: No weighting  
From  $x = 2,0600000000000e+01$  to  $x = 8,0000000000000e+01$

Parameter	Value	Error
B (y-intercept)	9,8219891110714e+02	2,5850139294738e+00
A (slope)	6,1759757677639e+00	4,8405836822666e-02

Errors were scaled with  $\sqrt{\text{Chi}^2/\text{doF}} = 3,2523291749567e+00$

$$\begin{aligned}\alpha_2 &= 6,288 \cdot 10^{-3} \text{ K}^{-1} \\ U(\alpha_2) &= 5,199 \cdot 10^{-5} \text{ K}^{-1} \\ \alpha_2 &= (6,29 \pm 0,05) \cdot 10^{-3} \text{ K}^{-1} (p = 99,73\%) \\ R_{02} &= 982,184 \Omega \\ U(R_{02}) &= 11,190 \Omega \\ R_{02} &= (980 \pm 10) \Omega (p = 99,73\%)\end{aligned}$$

Pro termočlánek zjistím z rovnice  $U = \beta(t_1 - t_2)$ , že  $A = \beta$  a parametr B je nulový.  
Seebeckův termoelektrický koeficient je tedy přímo roven parametru A, který tudíž mohu i s krajní nejistotou přímo odečíst s fitu

Linear Regression of dataset: Table1\_4, using function:  $A*x+B$   
Sort: No  
Weighting Method: No weighting  
From  $x = 2,0600000000000e+01$  to  $x = 8,0000000000000e+01$

Parameter	Value	Error
B (y-intercept)	-1,1382291130199e-04	2,3733134095378e-05
A (slope)	4,1879185132072e-05	4,4441625757318e-07

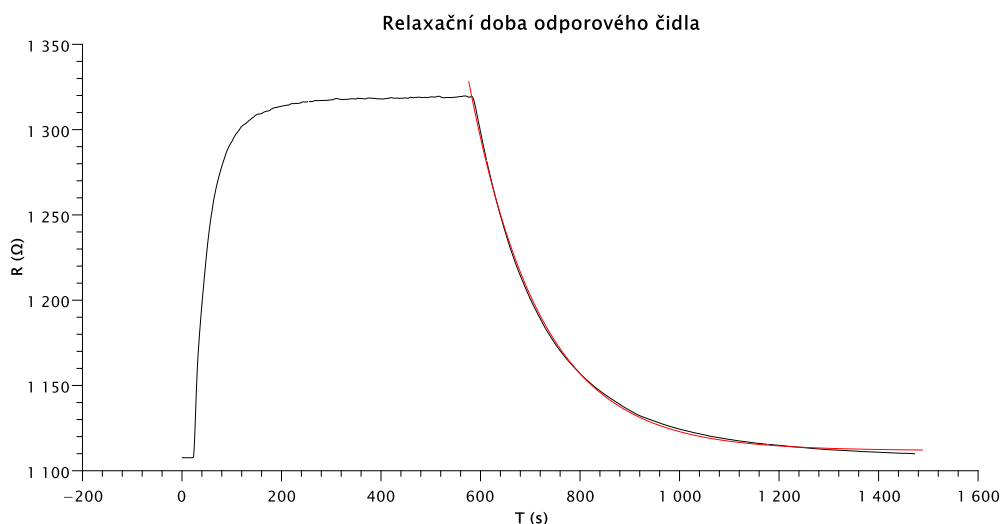
Errors were scaled with  $\sqrt{\text{Chi}^2/\text{doF}} = 2,9859786653943e-05$

$$\beta = (419 \pm 4) \cdot 10^{-7} \text{ V} \cdot ^\circ\text{C}^{-1}$$

## 2.2. Relaxační doba

Nyní budu určovat relaxační dobu zapouzdřeného (Pt1000) a nezapouzdřeného čidla (termoelektrický článek typu K). Pod čidla dám horkovzdušnou pistoli nastavenou na 100 °C. Počkám na ustálení charakteristik čidel a poté pistoli rychle odsunu. Poté počkám až teplota čidel klesne až na laboratorní teplotu. Poté z exponenciálního fitu ( $y_0 + A^{-\frac{x}{\tau}}$ ) získám relaxační dobu i s její nejistotou.

Zapouzdřené (odporové) čidlo:

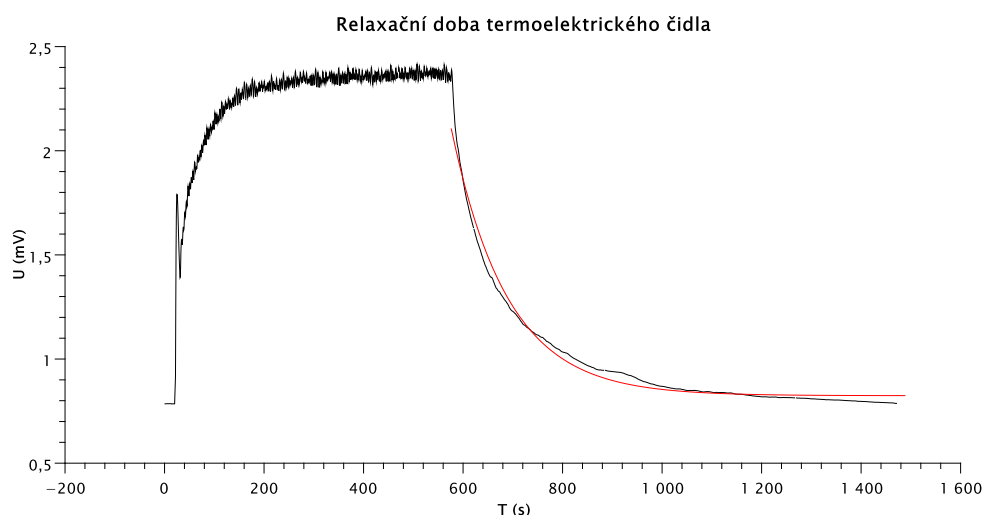


Parameter	Value	Error
A (amplitude)	1,2270938209845e+04	8,6521227375348e+01
t (e-folding time)	1,4273522535584e+02	2,3225710249143e-01
y0 (offset)	1,1117951685508e+03	6,0159046146200e-02

Errors were scaled with  $\sqrt{\text{Chi}^2/\text{doF}} = 1,4679413883144e+00$

$$\tau_m = (142,7 \pm 0,2) \text{ s } (p = 99,73\%)$$

Nezapouzdřené (termoelektrické) čidlo:



Parameter	Value	Error
A (amplitude)	2,0997069672015e+02	7,8242678185338e+00
t (e-folding time)	1,1302527491914e+02	7,7274457560341e-01
y0 (offset)	8,2389948101464e-01	1,2732037922661e-03

Errors were scaled with  $\sqrt{\text{Chi}^2/\text{doF}} = 3,5584976464814e-02$

$$\tau_m = (113,0 \pm 0,8) \text{ s } (p = 99,73\%)$$

### 2.3. Měření s můstkem

Při tomto měření budu vycházet ze vztahu

$$\Delta t = \frac{4U}{U_0 \alpha}$$

kde  $U$  je rozladění můstku,  $U_0$  je napájecí napětí můstku,  $\alpha$  je teplotní koeficient odporu a  $\Delta t$  je teplotní rozdíl mezi měřenou a srovnávací teplotou.

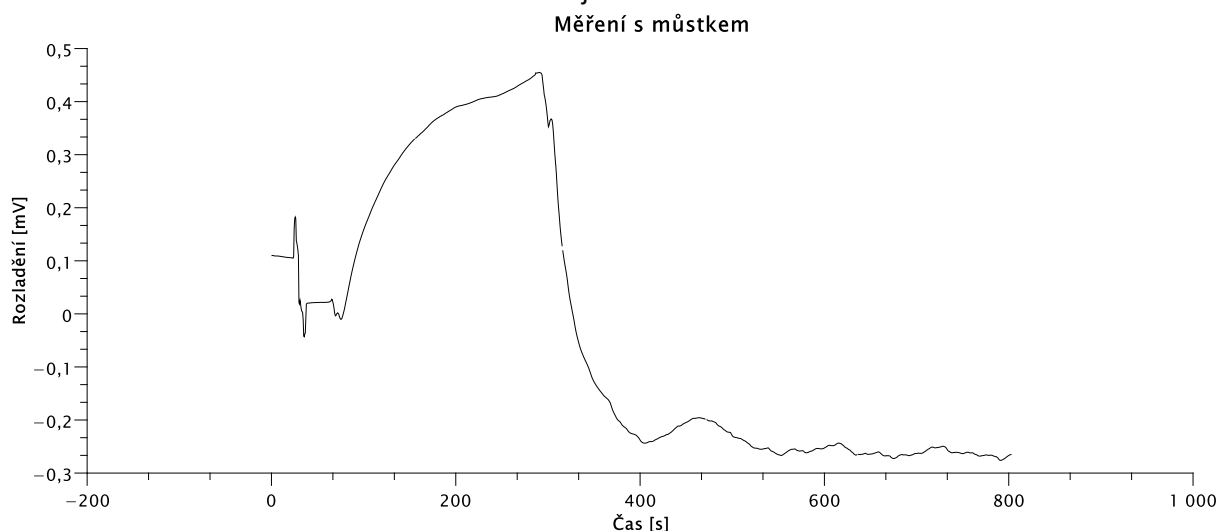
Napájecí napětí můstku je

$$U_0 = 2,1769 \text{ V}$$

Teplotní koeficient je

$$\alpha = (3,90 \pm 0,03) \cdot 10^{-3} \text{ K}^{-1} (p = 99,73\%)$$

Graf závislosti rozladění můstku na čase je:



Při zaizolování čidla se tedy mění jeho teplota

$$\Delta t_1 = 0,19 \text{ } ^\circ\text{C}$$

$$\Delta t_2 = -0,12 \text{ } ^\circ\text{C}$$

### 2.4. Emisivita

Měděnou plotýnku pokrytou černým, bílým a aluminiovým žárovzdorným lakem jsem rozehrála, následně jsem vařič vypnula a měřila teplotu termočlánkovou sondou a IR teploměrem, na kterém jsem nastavila emisivitu  $\varepsilon = 1$  a měřila jsem 5× teplotu každého povrchu. Emisivitu spočtu jako  $\varepsilon = \left(\frac{T_p}{T}\right)^4$ . Naměřené hodnoty a emisivita jsou tedy:

	Černá destička			Bílá destička			Stříbrná destička		
	T [K]	$T_p$ [K]	$\varepsilon$	T [K]	$T_p$ [K]	$\varepsilon$	T [K]	$T_p$ [K]	$\varepsilon$
1	483,05	484,65	1,013	490,85	450,85	0,712	502,85	376,35	0,314
2	474,75	452,25	0,823	478,65	444,85	0,746	478,45	368,65	0,352
3	471,85	466,75	0,957	462,45	430,55	0,751	477,45	373,05	0,373
4	460,95	458,65	0,980	459,75	421,05	0,703	475,95	377,85	0,397
5	443,95	459,85	1,151	456,05	455,75	0,997	458,45	368,45	0,417

Emisivita černé destičky je tedy:

$$\bar{\varepsilon} = 0,9848$$

$$u(\varepsilon) = 0,0526$$

$$U(\varepsilon) = 0,348$$

$$\varepsilon = (1,0 \pm 0,3) \ (p = 99,73\%, \nu = 4)$$

Emisivita bílé destičky je:

$$\bar{\varepsilon} = 0,7818$$

$$u(\varepsilon) = 0,0546$$

$$U(\varepsilon) = 0,361$$

$$\varepsilon = (0,8 \pm 0,4) \ (p = 99,73\%, \nu = 4)$$

Emisivita stříbrné destičky je:

$$\bar{\varepsilon} = 0,3706$$

$$u(\varepsilon) = 0,0179$$

$$U(\varepsilon) = 0,118$$

$$\varepsilon = (0,4 \pm 0,1) \ (p = 99,73\%, \nu = 4)$$

## 2.5. Propustnost

Dále jsem určovala propustnost okének z různých materiálů pomocí termokamery. Budu měřit teplotu bez okénka a následně s ním. Propustnost dále určím ze vztahu  $\tau = \frac{T_{IR,O}^4}{T_{IR,V}^4}$  pro 4, 5, 6, 7, 8 a  $\tau = \frac{T_{IR,O}^4 - T_{IR,P}^4}{T_{IR,V}^4}$  pro 1, 2, 3, 9. ( $T_{IR,P} = 295,95$  K) Naměřené hodnoty a propustnost jsou:

		$T_{IR,O}$ [K]	$T_{IR,V}$ [K]	$\tau$
1	Polykarbonát (1,5 mm)	293,15	339,15	-0,022
2	Sklo (1 mm)	295,15	339,15	-0,006
3	SiO <sub>2</sub> (3 mm)	293,15	340,15	-0,021
4	NaCl (7,4 mm)	340,15	340,15	1
5	CaF <sub>2</sub> (2 mm)	339,15	340,15	0,988
6	KBr (3 mm)	340,15	340,15	1
7	Si (0,5 mm)	340,15	340,15	1
8	GaAs (0,5 mm)	340,15	340,15	1
9	Cu (0,3 mm)	298,15	340,15	0,017

## 2.6. Teplota měděné plotny

V této části úlohy budu měřit teplotu měděné plotny, která byla předem vychlazená v mrazničce. Teplotu budu měřit kontaktním čidlem a IR teploměrem nejprve pro povrch s námrazou a poté bez námrazy. Naměřené hodnoty a emisivita jsou:

	T [K]	$T_p$ [K]	$\varepsilon$
S námrazou	262,75	264,15	1,021
Bez námrazou	257,95	291,15	1,623

## 3. Závěr

Z naměřené závislosti odporu na teplotě jsem identifikovala dvě odporová čidla. U prvního čidla mi vyšel koeficient  $\alpha_1 = (3,90 \pm 0,03) \cdot 10^{-3} \text{ K}^{-1}$  ( $p = 99,73\%$ ) a odpor  $R_{01} = (1002 \pm 10) \ \Omega$  ( $p = 99,73\%$ ). Dle tabulek se tedy jedná o čidlo Pt1000. Pro druhé čidlo mi vyšel koeficient  $\alpha_2 = (6,29 \pm 0,05) \cdot 10^{-3} \text{ K}^{-1}$  ( $p = 99,73\%$ ) a odpor  $R_{02} = (980 \pm 10) \ \Omega$  ( $p = 99,73\%$ ). V tomto případě se dle tabulek jedná o čidlo Ni1000. I v tomto měření by však měl odpor čidla vyjít 1000  $\Omega$ . Toto měření je tedy zatíženo chybou, protože tato hodnota neleží v intervalu, který mi vyšel.

Dále jsem také měřila závislost napětí na termočlánek na teplotě. Z tohoto měření jsem zjistila parametr  $\beta = (419 \pm 4) \cdot 10^{-7} \text{ V} \cdot ^\circ\text{C}^{-1}$ . Identifikovala jsem tedy termočlánek typu K.

Poté jsem měřila také relaxační dobu zapouzdrěného a nezapouzdrěného čidla. Pro nezapouzdrěné čidlo mi vyšlo  $\tau_m = (113,0 \pm 0,8) \text{ s}$  ( $p = 99,73\%$ ) a pro zapouzdrěné čidlo  $\tau_m = (142,7 \pm 0,2) \text{ s}$  ( $p = 99,73\%$ ). Z tohoto výsledku vidím, že relaxační doba nezapouzdrěného čidla je kratší než zapouzdrěného čidla, z čehož plyne, že nezapouzdrěné čidlo reaguje na změny teploty rychleji než zapouzdrěné.

Při měření s můstkem jsem zjistila, že při zaizolování čidla se mění jeho teplota o  $\Delta t_1 = 0,19^\circ\text{C}$ ,  $\Delta t_2 = -0,12^\circ\text{C}$ . Tyto teplotní rozdíly poté mohou způsobit chybu měření, je tedy potřeba dávat si na to pozor.

Určovala jsem také emisivitu černé, bílé a stříbrné destičky. Tyto emisivity mi vyšly: pro černou  $\varepsilon = (1,0 \pm 0,3)$  ( $p = 99,73\%$ ,  $\nu = 4$ ), pro bílou  $\varepsilon = (0,8 \pm 0,4)$  ( $p = 99,73\%$ ,  $\nu = 4$ ) a pro stříbrnou  $\varepsilon = (0,4 \pm 0,1)$  ( $p = 99,73\%$ ,  $\nu = 4$ ).

Při měření propustnosti okének jsem dále zjistila, že NaCl, CaF<sub>2</sub>, KBr, Si, GaAs propouští a polykarbonát, sklo, SiO<sub>2</sub>, Cu nepropouští záření. Z těchto výsledků tedy mohu říct, že iontová vazba se snadno rozpadá a proto materiály s touto vazbou snadno propouští záření.

Naposledy jsem zjišťovala emisivitu měděné destičky bez námrazy a s námrazou. S námrazou mi emisivita vyšla 1,021 a bez námrazy 1,623.